

# 常用电子测量仪器 使用手册

上 册

电子技术系 编

上海科学技术大学分社

# 常用电子测量仪器 使用手册

上册

电子技术系编

上海科学技术大学分部

一九八三年

## 内 容 简 介

本手册共分三篇。第一篇是电子测量的基本方法。第二篇是常用电子测量仪器，是本手册的主要部分，介绍万用电表、电子电压表、电子示波器、信号发生器、电路参数测量仪、频率测量仪和其他仪器。具体介绍每种仪器的技术性能、工作原理和使用方法。第三篇为附录。本手册暂分上、下二册出版。

本手册可作为高等学校使用电子测量仪器的有关专业的实验教材或实验教学参考书；中等专业学校有关专业也可选用。此外还可供从事电子测量工作的广大工程技术人员参考使用。

## 常用电子测量仪器使用手册

### 上 册

电子技术系 编

上海科技大学分部出版

国营常熟市棉花原种场印刷厂印刷

787×1092毫米 16开本 印张 6 字数300,000

1983年8月第1版 1983年8月第1次印刷

# 前　　言

电子科学实验的过程就是使用电子测量仪器、运用各种电子测量方法，对电路（或电路元件）进行性能、参数测量的过程。“工欲善其事，必先利其器”。要增强电子实验方面的动手能力，必须要提高使用电子测量仪器和运用电子测量方法的能力。因此我们在电子实验教学中加强了电子测量仪器的教学，并根据多年来的教学实践，编写了《常用电子测量仪器使用手册》一书，作为电子实验辅助教材。

在编写中考虑到为培养学生今后独立适应不断发展和更新的测量仪器和测量技术的能力，并便于各有关工厂、研究所等专业单位从事电子测量的工程技术人员在实际电子测量工作中参考使用。在选编中，除实验室常用的电子测量仪器外，还从实际电子测量工作需要出发，增编了部分目前有代表性的国产常用电子测量仪器。

本手册共分三篇。第一篇是电子测量的基本方法。第二篇是常用电子测量仪器，是本手册的主要部分，分别介绍万用表、电子电压表、电子示波器、信号发生器、电路参数测量仪、频率测量仪和其他仪器。具体介绍每种仪器的技术性能、工作原理和使用方法。第三篇为附录。

全书约六十五万字，为应教学急需，暂分上、下二册，上册篇幅略少，近三十万字。本手册可作为高等学校使用电子测量仪器的有关专业的实验教材或实验教学参考书，中等专业学校有关专业也可选用，此外还可供从事电子测量工作的广大工程技术人员参考使用。

本手册上册部分第一至十章由朱锡仁同志编写，第十一、十二章由葛华安、王毅敏、杨士颖、陆若杰同志编写；第十三章由陆若杰、朱锡仁编写。张莘迦同志审阅并加工全书。

本手册在编写过程中，得到电子技术系有关教研组和实验室教师的支持和帮助。沈一斋同志做了大量的具体工作，杨秀芳同志也参加了部分初稿的编写。

在手册的上册部分编写中还得到上海无线电仪器厂、上海无线电廿一厂、上海沪光仪器厂、上海万里无线电厂、南通电表厂、天津无线电一厂和我校附属科专仪器厂等单位的大力支持，编者在此一并表示衷心的感谢。

由于成稿时间紧促和编写者的业务水平限止，手册中的缺点和错误在所难免，恳切希望读者批评指正。

《常用电子测量仪器使用手册》编写组

# 目 录

(上 册)

## 第一篇 电子测量的基本方法

<b>第一章 电压的测量</b> .....	1
§ 1.1 电压表测量法 .....	1
§ 1.2 示波器测量法 .....	3
<b>第二章 频率的测量</b> .....	4
§ 2.1 示波器测量法 .....	4
§ 2.2 电子计数器测量法 .....	7
§ 2.3 拍频和差频测量法 .....	8
<b>第三章 相位差的测量</b> .....	10
§ 3.1 示波器测量法 .....	10
§ 3.2 比较法 .....	13
§ 3.3 直读法 .....	14
<b>第四章 元件参数的测量</b> .....	14
§ 4.1 电桥测量法 .....	14
§ 4.2 谐振测量法 .....	18
<b>第五章 晶体管的测量</b> .....	24
§ 5.1 晶体管反向截止电流的测试 .....	24
§ 5.2 晶体管反向击穿电压的测试 .....	25
§ 5.3 晶体管输出特性和直流放大系数的测试 .....	26
§ 5.4 晶体管输入特性的测试 .....	27
§ 5.5 晶体管饱和压降的测试 .....	28
<b>第六章 电路阻抗的测量</b> .....	29
§ 6.1 阻抗的测量 .....	29
§ 6.2 阻抗角 $\phi$ 的测量.....	32
<b>第七章 网络传输特性的测量</b> .....	33
§ 7.1 电压传输函数 .....	33
§ 7.2 幅频特性的测量 .....	33
<b>第八章 失真系数的测量</b> .....	35
§ 8.1 失真的概念 .....	35
§ 8.2 失真系数的测量 .....	35

<b>第九章 调制系数的测量</b>	37
§ 9.1 调幅系数的测量	37
§ 9.2 调频指数和频偏的测量	39
<b>第十章 瞬态响应的测量</b>	41
§ 10.1 瞬态响应的概念	41
§ 10.2 瞬态响应的测试方法	41

## 第二篇 常用电子测量仪器

<b>第十一章 万用电表</b>	43
§ 11.1 500 改进型万用电表	43
§ 11.2 MF-30 型万用电表	48
§ 11.3 DY-1型多用表	50
§ 11.4 DF-6A 型数字通用表	53
<b>第十二章 电子电压表</b>	58
§ 12.1 GB-9B 型真空管毫伏表	58
§ 12.2 DA-16 型晶体管毫伏表	62
§ 12.3 DYC-5 型超高频电子管电压表	65
§ 12.4 DA-22 超高频毫伏表	68
§ 12.5 HFJ-8 型超高频晶体管毫伏表	72
§ 12.6 S401 型视频毫伏表	75
§ 12.7 PZ-8 型直流数字电压表	78
§ 12.8 PZ-12a 型数字电压表	83
§ 12.9 DS-26A型数字电压表	89
<b>第十三章 电子示波器</b>	98
§ 13.1 SB-10型示波器	98
§ 13.2 SB-14型示波器	104
§ 13.3 SBT-5 型同步示波器	109
§ 13.4 ST-16型示波器	117
§ 13.5 ST-15A型通用示波器	125
§ 13.6 SJ-14型慢扫描示波器	131
§ 13.7 SBE-7 型二踪示波器	136
§ 13.8 SR-8型双踪示波器	146
§ 13.9 SBM-10A型多用示波器	155
§ 13.10 SB-37型二踪示波器	164
§ 13.11 SQ-12型高阻取样示波器	176

# 第一篇 电子测量的基本方法

## 第一章 电压的测量

电压是电子技术中最重要的基本参数之一。许多电参数都可视为电压的派生量，各种电路的工作状态通常都以电压的形式反映出来，而电子设备的各种信号也主要是用电压来表现。因此，电压测量是电参数测量的基础。

目前广泛采用的电压测量方法主要有电压表测量法和示波器测量法两种。

### § 1.1 电压表测量法

#### 一、直读测量法

直接由电压表的读数决定测量结果（电压值）的测量方法称为电压表的直读测量法。直读测量法简便直观，是电压测量的最基本方法。

用电压表测量法进行电压测量时，首先遇到的是如何选择电压表的问题。通常要根据被测信号的特点（如频率的高低、幅度的大小等）和被测电路的状态（如内阻的数值等）进行考虑。以电压表的使用频率范围、测量电压范围和输入阻抗的高低作为选择电压表的依据。

被测信号必须在电压表可以使用的频率范围内和可以测量的电压范围内，这是显然可见的。这里再简单谈一谈输入阻抗问题。因为电压表接入被测电路之后，必定要影响被测电路的工作状态，为了把这种影响限制在允许的范围内，应对电压表的输入阻抗提出一定的要求。对于直流或者低频电压，只需要考虑电压表的输入电阻足够大，对于高频电压除要求电压表有足够大的输入电阻外，尚需要求其输入电容足够小。此外，对于工作于某些状态的电路进行电压测量时还需考虑阻抗匹配问题。

另外，常用的交流电压表大多是以正弦电压的有效值来刻度的，因此只适合测量正弦电压有效值。但正弦电压的有效值、整流平均值、峰值及峰—峰值之间彼此有一定关系，在乘以适当的系数后可把一种值（例如峰值）变换为另一种值（例如有效值）。表 1.1 列出了平均值（指全波整流平均值）、有效值、峰值、峰—峰值的转换关系，供测量电压时查阅。

表 1.1

系 数 给定值	转 换 值	平 均 值	有 效 值	峰 值	峰—峰 值
平 均 值	1		1.11	1.57	3.14
有 效 值	0.900		1	1.414	2.83
峰 值	0.637		0.707	1	2.00
峰—峰 值	0.318		0.354	0.500	1

注：平均值是指全波整流后的平均值

关于电压测量的精度问题。指针式仪表的精度是按满度相对误差分成0.05、0.1、0.2、0.5、1.5、2.5、5.0等几个等级。以2.5级精度来说，其满度相对误差为 $\pm 2.5\%$ 。在电压测量中，直流电压的测量精度一般比交流电压的测量精度高。通常在较高精度的电压测量中，采用数字式电压表。一般直流数字式电压表的测量精度在 $10^{-4} \sim 10^{-6}$ 数量级，交流数字式电压表的测量精度在 $10^{-2} \sim 10^{-4}$ 数量级。

为了提高测量精度，除选用高精度的测量仪表外，尚需对测量方法、测量环境等提出一定要求。在普通条件下对电路做一般性测量调试时，误差要求并不甚高，通常在(1~3)%左右即可。

## 二、差值测量法

在电路的测量实践中，经常需要测量直流电压的微小变量。例如：直流稳压电源的电压调整率 $S_D$ 和内阻 $R_o$ ，就是通过测量输出直流电压的微小变量求得的。在一般情况下，直流电压微小变量是采用高精度的数字式直流电压表来进行测量的。

在不具备数字式直流电压表的情况下，如果用指针式仪表（如万用电表、直流电子电压表等）来直接测量直流电压的微小变量是难以实施的。因为被测直流电压值本身比较大，而变化量又相对比较小，所以若直接用指针式仪表的高量程挡进行测量，由于高量程挡的读数分辨率低，因此很难读出这个微小变量；若直接用指针式仪表的低量程挡进行测量，由于被测值远远超过低挡量程的上限，而会造成仪表严重过荷以致损坏。如果借助指针式仪表，运用差值法对直流电压的微小变量进行测量，则能清楚地读出微小的电压变化量。

差值法的测量电路如图1.1所示。图中采用一个直流电源作为辅助电源。辅助电源与直

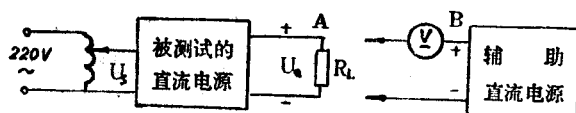


图1.1 差值测量法原理图

流电压表串联后，一起并联到被测直流电源的输出端负载电阻 $R_L$ 上。若直流电压表的内阻远大于负载电阻 $R_L$ ，则测量电路的分路作用可忽略不计。对于辅助电源，要求其电压值能调节到等于被测电压的规定值。根据串联电压表的读数，可测量出被测电压的微小变化量。一般情况下，由于差值远小于电压基本值，差值的测量误差对电压基本值的影响较小，因此差值法中采用的指针式仪表的精度虽然不够高（通常在2.5级左右），但对电压基本值的测量结果精度影响较小。通过误差计算可知，差值法对电压基本值测量结果的精度主要由辅助电源的精度决定。当然在测量电压基本值以外的情况下，如下面介绍的测量 $S_D$ 值，指针式仪表的精度对 $S_D$ 的测量结果有较大的影响，此时为了提高测量 $S_D$ 的精度，宜选择较高精度的指针式仪表。

下面以测量直流稳压电源的电压调整率 $S_D$ 为例，介绍差值测量法的应用。 $S_D$ 是表示在直流电源负载不变的条件下，交流电源电压 $V_s$ (220V)变化 $\pm 10\%$ 时，输出直流电压的相对变化值，即  $S_D = \frac{\Delta V_o}{V_o}$ ，式中 $V_o$ 为 $V_s = 220V$ 时所对应的输出直流电压值。 $\Delta V_o$ 为 $V_s$ 从220V分别变到+10% (242V) 和 -10% (198V) 时输出电压的变化量。

先在  $V_s = 220$  V 的条件下，调整被测直流电源，使其输出电压  $V_o = 24$  V。当 A 点对地电位等于 B 点对地电位时，直流电压表指示为零（为了提高准确度，直流电压表应置于最低量程挡，即最高灵敏度挡）。此即表示  $V_o = V_{\text{辅助}} = 24$  V。当  $V_s = V_s' = 198$  V 时，指示用的直流电压表的正端接 B 端，负端接 A 端，则直流电压表作出相应的差值指示  $+ \Delta V_o$ ，当  $V_s = V_s'' = 242$  V 时。指示用直流电压表的正端接 A 点，负端接 B 点，则直流电压表即作出相应的差值指示  $- \Delta V_o$ 。如果作指示器的直流电压表的灵敏度越高，则差值分辨能力越强。根据直流电压表指示的差值  $\pm \Delta V_o$ ，即可计算出被测试的直流电源的电压调整率  $S_D = \pm \frac{\Delta V_o}{V_o} \times 100\%$ 。

## § 1.2 示波器测量法

用示波器测量电压除适宜于在观察电压波形的同时顺便测量其大小外，最重要的特点是能够正确地测定波形的峰值及波形各部份的大小，因此在需要测量某些非正弦波形的峰值或某部份波形的大小时，用示波器进行测量便成为必不可少的方法了。

示波器测量电压用的是比较法。进行测量时可按照图1.2所示布置测量电路。如要测量矩

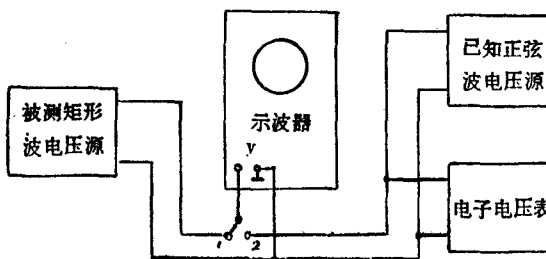


图1.2 示波器比较法测量电压原理图

形波电压值先将开关 K 置于位置“1”，使被测的矩形波电压接于示波器的 y 轴输入端。示波器的 X 轴选择开关置于扫描挡，适当调节扫描范围、扫描微调、整步调节，使荧光屏上显示稳定波形。适当调节 y 轴衰减、y 轴增益，使荧光屏上所显示波形的垂直幅度  $y_1$  为一定值（例如 6 厘米）。然后保持 y 轴增益不变（即保持示波器的垂直灵敏度不变），把开关 K 置于位置“2”，将一个频率相近的正弦波的电压接入示波器的 y 轴输入端，在正弦波电压源的输出端并联一电子电压表。适当调节示波器面板控制装置（注意：y 轴增益保持不变），使波形稳定。调节正弦波输出电压幅度，使荧光屏上波形的垂直幅度  $y_2$  等于  $y_1$ 。若这时电压表的读数为 8 伏，因该读数是正弦电压的有效值，换算成正弦波电压的峰峰值，得  $8 \text{ 伏} \times \sqrt{2} \approx 22.6$  伏，则被测矩形波电压也等于 22.6 伏。如果前后两次测量时垂直幅度  $y_1$  和  $y_2$  不相等，可利用公式  $\frac{U_1}{U_2} = \frac{y_1}{y_2}$  求出所测波形的幅度。

用比较法进行电压测量时，也可先将开关 K 置于位置“2”，使作为比较用的正弦波的电压源先接于示波器的 y 轴输入端。适当调节示波器面板控制装置，使荧光屏上显示稳定的、垂

直幅度一定的波形。用电子电压表测出这个比较信号电压的大小，计算出荧光屏上单位高度的电压值。这个值就是示波器此刻的垂直灵敏度。实际上为了计算方便，应使垂直灵敏度是一个简单整数，例如y轴输入端输入一个有效值为1伏的正弦电压，其峰一峰值是2.8伏，调节y轴增益，使信号波形在垂直方向占有2.8格，则此时荧光屏上每一格相当于1伏。然后保持y轴增益不变，把开关K置于位置“1”，使被测的矩形波电压接于示波器的y轴输入端。示波器面板上y轴增益旋钮保持不变，适当调节其它有关旋钮，使波形稳定。此时将荧光屏上被测波形垂直方向所占的格数乘以垂直灵敏度，就是被测电压的数值。这种测量方法在一些产品示波器（如SBT-5型同步示波器等）中被采纳。在这些示波器中，已知正弦波电压源通常由已知矩形波信号电压源代替，将这种已知信号称为比较信号，并且把矩形波的电压幅度分成许多级，以便在不同幅度情况下选用。目前另一些产品示波器（如SBM-10型）的垂直衰减选择开关上一般都直接标出该挡的垂直灵敏度（伏／格），即荧光屏上每格代表的电压值。示波器在使用前用自身的校准信号（已知方波）校准后，即可根据垂直衰减选择开关所在位置的（伏／格）读数和荧光屏上波形的相应尺寸求得电压值。

示波器法测量电压除采用上面介绍的交流电压比较法外，还有一种直流电压比较法（在一些产品示波器中被采纳）。因为两种方法的基本原理和方法相似，这里不再重复叙述。

顺便指出，用电子示波器也可以测量电流的大小，其方法是把被测信号电流通过一个数值较小的电阻（以免对被测电路产生较大的影响），然后用测量电压的方法测出电阻上的电压降，便可换算出电流的大小。

## 第二章 频率的测量

频率是表征电磁振荡特性的基本参量，测量频率也是电子测量的基本任务之一。目前广泛采用的频率测量方法主要有示波器测量法、电子计数器测量法、拍频和差频测量法。

### § 2.1 示波器测量法

#### 一、扫速定度法

如果示波器的扫描范围开关具有时间定度（即给出示波管荧光屏上标尺线的每一横格与时间的关系，例如毫秒／格），则可利用示波器显示出被测信号波形，读测该信号的各种时间参数，如信号的周期等于荧光屏上波形一个周期的水平距离乘以扫描范围开关所在位置的毫秒／格。因为信号的频率是周期的倒数，所以可由已求得的周期计算出频率，即频率 =  $\frac{1}{\text{周期}}$ 。例如，荧光屏上被测信号波形一个周期的水平距离为四格，扫描范围开关所在位置的读数是1毫秒／格，则被测信号的频率 =  $\frac{1}{\text{周期}} = \frac{1}{4 \text{格} \times 1 \text{毫秒/格}} = 250 \text{赫}$ 。

#### 二、李沙育图形法

任何一种示波器都可以用李沙育图形法对频率进行准确的测量。用李沙育图形法测量频率时按图2.1所示布置测量电路。将一个信号电压（设为被测频率的信号）接于示波器的y

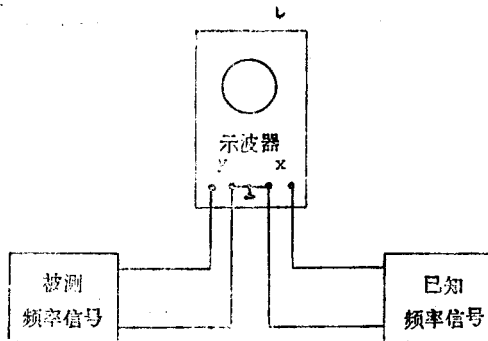


图2.1 李沙育图形法测量频率电路图

轴输入端，将另一个信号电压（设为已知频率的信号）接于示波器的 x 轴输入端（示波器的 x 轴选择开关置于衰减挡而不能置于扫描挡）。若被测频率是固定的，则已知频率应该是可调的。缓慢地调节已知频率信号的频率，当两个信号的频率成整数倍时，荧光屏上便显示出稳定的李沙育图形。形成李沙育图形的图解如图 2.2 所示，图中两个信号的频率比为： $f_{\text{垂直}}:f_{\text{水平}} = 2:1$ 。图 2.3 列举了几个常用频率比的李沙育图形。

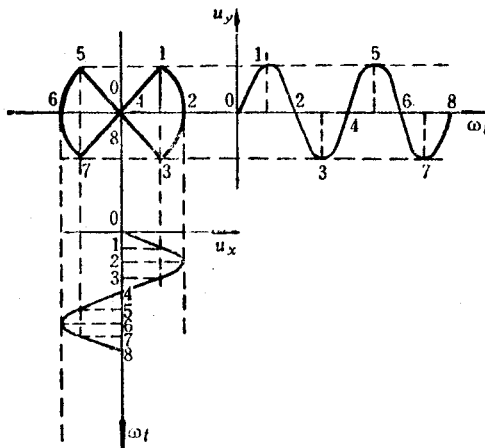


图2.2 频率比  $f_y/f_x = 2/1$  时的李沙育图形

确定两个频率比的方法是：在水平方向作一直线与图形相切的点数为  $N_{\text{水平}}$ ，在垂直方向作一直线与图形相切的点数为  $N_{\text{垂直}}$ ，则  $f_{\text{垂直}}:f_{\text{水平}} = N_{\text{水平}}:N_{\text{垂直}}$ 。在确定切点数时应注意

$f_y:f_x$	1:1	1:2	1:3	2:3
李沙育图形	○	∞	○	○

图2.3 几个常用频率比的李沙育图形

意：与非闭合图形相切的点算作 $\frac{1}{2}$ 点，如图 2.4 a 所示。当两个信号相位差不同而频率比相同时，李沙育图形不相同，见图 2.4 b 与图 2.4 c。

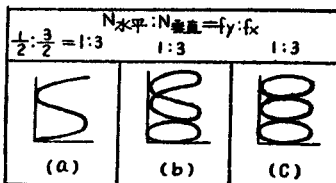


图2.4 频率比相同相位差不同时的李沙育图形

确定两个频率比的另一种方法是：在水平方向作一直线与图形相交的点数为 $N_{\text{水平}}$ ，在垂直方向作一直线与图形相交的点数为 $N_{\text{垂直}}$ ，则  $f_{\text{垂直}}:f_{\text{水平}} = N_{\text{水平}}:N_{\text{垂直}}$ 。在确定交点数时宜使这两条线都不宜通过李沙育图形的任何一个交点，倘若直线通过李沙育图形的交点，则计算交点应算作 2 点。

显然，在实际测量工作中，用李沙育图形进行频率测量时，为了使测量简便准确，通常尽可能调节已知频率信号的频率，使荧光屏上显示的图形为圆形。这时被测频率与已知频率相等。

此外，利用李沙育图形还可以求出两个相近频率之间的频率差。因为当两个频率近似相等时，屏上图形趋于椭圆，不过由于两者频率并不完全相等，因此图形不能稳定，每当较高频率的信号超过较低频率的信号一个整周期，便相当于两个相等频率之间的相位差发生一次由 $0^\circ$ 到 $360^\circ$ 的变化（例如由 $0^\circ$ 时的斜线变成椭圆再变为 $0^\circ$ 时的斜线）。若借助秒表数出图形在每秒钟内周而复始的次数，便可测得该两信号频率之差值。

### 三、亮度调制法

在实际工作中，有时已知频率和被测频率之比相差很大，例如用已知频率 50 赫去定度音频振荡器 1 千赫的频率，若用李沙育图形法进行测量，因两个频率之比相差太大，荧光屏上图形繁杂，切点（或交点）数不易观察清楚，这种情况宜采用亮度调制法。亮度调制法测量的频率比一般可达 25:1，甚至更高。

用亮度调制法进行频率测量时按图 2.5 所示布置测量电路。先将被测频率和已知频率中频率低的信号  $f_1$ （应为正弦波）加到由电阻电容组成的  $90^\circ$  相移网络上（电阻一般可取 1 千欧左右，电容取 0.1 微法左右，电阻和电容上电压的相位差为  $90^\circ$ ），将电阻上的信号接到示波器的 y 轴输入端，将电容上的信号接到示波器的 x 轴输入端（x 轴选择开关置于衰减挡而不能置于扫描挡）。因为 x 轴和 y 轴上分别输入频率相同而相位相差  $90^\circ$  的两个信号，所以只要适当调节示波器面板上的控制旋钮，荧光屏上将显示一个大小适宜的正圆。再将频率较高的信号  $f_2$ （此信号电压至少应有 4~5 伏，大一些更好）接到示波器的 z 轴输入（z 轴输入插孔在示波器背面输入板上）。这时信号电压  $f_2$  对示波管阴极发射出来的电子束起调制

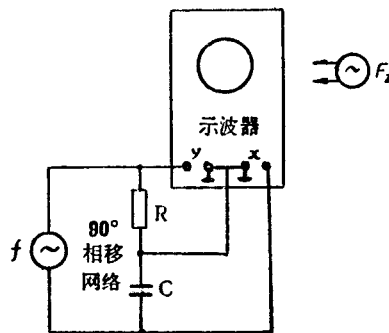


图2.5 亮度调制法测量频率

作用。调节示波器的辉度旋钮，使波形辉度不宜太强。由于调制信号加在示波管阴极，所以在信号电压  $f_1$  的正半周时，示波管没有电子束发射，负半周时才能使电子发射，因此在荧光屏上出现断续的图形，缓慢调节已知信号的频率，当两个信号的频率成整数倍时，荧光屏上便显示出稳定的断续图形，圆周的分段数即为两频率之比。举例如下：如果信号频率  $f_1$  为 1000 赫，那就是说光点在一秒钟内要描绘一千个圆，亦即在 1 毫秒内完成一个圆；若调制信号频率  $f_2$  为 4000 赫，亦即在 1 毫秒内完成 4 个周期，由于示波管内电子束在调制信号正半周时截止，所以在 1 毫秒内共截止 4 次，这样荧光屏上显示的圆周将被截成 4 段圆弧，即表示  $f_2$  与  $f_1$  之比为 4 比 1。

按照图 2.5 所示的电路进行测量时，由于加在 y 轴和 x 轴的信号相位相差 90°，所以荧光屏上显示一个正圆。但是必须要求信号  $f_1$  与示波器没有公共的接地端。如果  $f_1$  必须与示波器共地，则可按图 2.6 所示连接电路，此时荧光屏上显示的将不是一个正圆，而是一个长轴倾斜的椭圆，但仍可按同理进行频率测量。

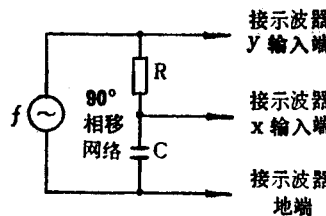


图2.6

## § 2.2 电子计数器测量法

随着脉冲数字电路的发展，用电子计数器测量频率日趋广泛。计数法就是用测量单位时间内信号的周期数来确定信号的频率，这种方法可以达到很高的测量准确度（例如  $10^{-8}$  ~  $10^{-7}$ ）。

电子计数器测量频率的基本原理性方框图如图 2.7 所示。被测信号（不管是什波形）经过脉冲形成电路转变成一个脉冲序列，每一周期对应于一个脉冲，这种连续的脉冲序列到达控制的门限电路时，只有在门限打开的一定时间间隔内（例如 1 秒）到达的那批脉冲被它放

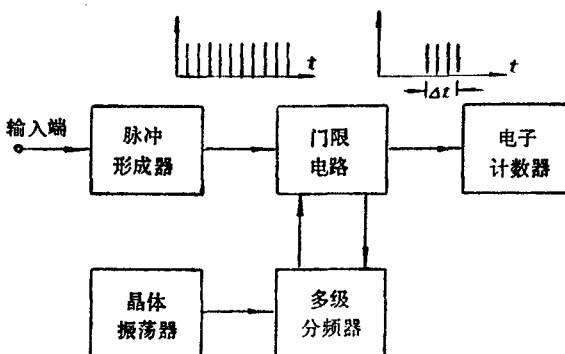


图2.7 计数器测量频率原理图

过，并逐一地加到电子计数器，由电子计数器数出它们的个数，在知道了多少时间内通过了多少个脉冲后，即知道了被测信号的频率。这种测量方法的准确度，主要由控制门限打开的选定时间是否准确而定；此外，由于门限启闭的时刻与首末两个脉冲到来的时刻不一定经常正好配合，这在计数结果中最多还会因此而可能有 $\pm 1$ 次计数误差（即差1个脉冲）。为了准确地控制门限打开的时间（即进行计数的时间），在频率计中通常用其内部的（也可改用外加的）晶振作为时间标准，并要求它的频率准确度和稳定度达到一次标准级的水平（即 $10^{-8} \sim 10^{-8}$ ）。为了获得不同长度的标准时间间隔，将晶体振荡器的振荡频率分频至1赫或十分之一赫等，这样便能得到各种标准振荡周期。测量时将某一种适合需要的标准振荡周期的起点和终点各形成一个脉冲加到门限电路作为它的“开启”和“关闭”信号，便能保证把门限打开的时间长度控制为所选定的准确已知数值。

这里的电子计数器部分通常是由6到8个十进位计数器串联而成。显示数字的方法是每个十进位安装一只数码显示管，以便可以显示由0到9之间的任一数字。这样计数结果的数值便可依次从各个十进位数所示的数字读出。

为了保证获得较高的测量精确度，在测量高低不同的频率时，在选择计数时间（即开门时间）长度上，应使计数结果尽可能用上电子计数器的全部十进位。例如，假若总共有6个十进位，当测量几百千赫的频率时，计数时间应选取1秒，而不应取 $1/10$ 秒或更短。

### § 2.3 拍频和差频测量法

在具备可变已知标准频率的情况下，可采用拍频测量法测量音频范围内的信号频率或采用差频测量法测量高频范围内的信号频率。

#### 一、拍频测量法

当两个频率很接近的信号（ $f_1$ 和 $f_2$ ）在线性元件上叠加时，将形成幅度在 $|u_1 - u_2|$ 到 $|u_1 + u_2|$ 的限度内不断变化、且幅度变化频率为 $f = |f_1 - f_2|$ 的合成信号，这种现象称为拍频（ $u_1$ 和 $u_2$ 分别为频率 $f_1$ 和 $f_2$ 的信号的振幅）。拍频现象的示意图如图2.8所示。其中图a、b分别表示频率为 $f_1$ 和 $f_2$ 的信号，图c表示信号 $f_1$ 和 $f_2$ 线性叠加后的合成图形。

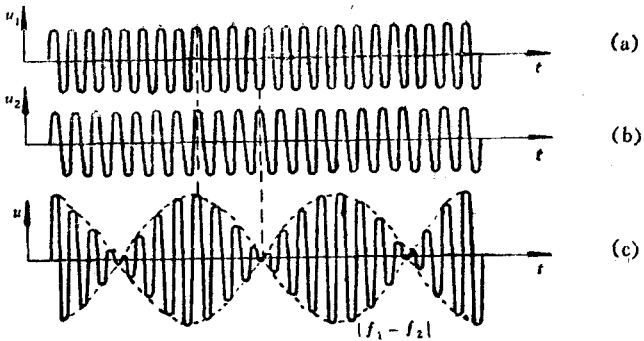


图2.8 拍频的形成

当  $f_1$  和  $f_2$  处于音频范围,且其间的差值很小时,可利用耳机、电压表或示波器等指示器来监测拍频现象。图 2.9 所示系利用耳机作指示器的测试示意图。通过耳机听到如图2.8c所示的合成信号的声音时,好象单频率的音调一样,只是它的响度按照差拍频率( $f = |f_1 - f_2|$ )

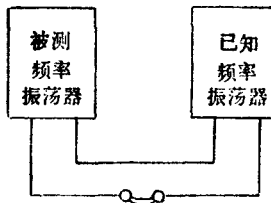


图2.9 拍频法测量频率

周期性地变化。调节可变的已知(标准)频率,信号  $f_1$  与  $f_2$  愈接近相等、耳机中声音响度的涨落的次数愈少。由于人耳能察觉到几秒钟重复一次的声音涨落,因此实际上用拍频法可以将两个频率调到几乎完全相等,随即可以由已知(标准)频率的数值来决定被测频率的数值。拍频测量法的绝对准确度较高,可达到零点几赫。如果拍频指示器采用电压表,则随着信号频率  $f_1$  与  $f_2$  与愈接近相等,电压表指针的摆动越慢。如果拍频指示器采用示波器,则随着信号  $f_1$  与  $f_2$  愈接近相等,所显示的波形的起伏越小。

## 二、差频测量法

如果被测信号频率高于人耳能直接感觉的音频范围,则不能采用拍频测量,应采用如图 2.10 所示的差频测量法。在检波器的输出端一般接耳机,检波产生的差频  $|f_1 - f_2|$  信号由耳

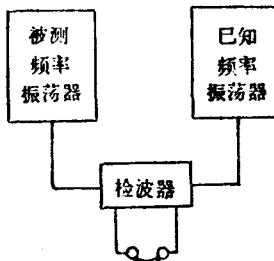


图2.10 差频法测量频率

机进监测。如果调节已知(标准)频率，当  $f_1$  与  $f_2$  足够接近时，差频必将处于音频范围之内。根据耳机中差频音调的高低可以判断已知(标准)频率与被测频率的差别程度，如果耳机中的差频音调愈低，则已知(标准)频率与被测频率愈接近。因为人耳能听到的最低音调的频率不能低于  $10\sim20$  赫左右，所以当已知(标准)频率与被测频率相差小于  $10\sim20$  赫时，耳机中便听不到声音了，故此法存在  $10\sim20$  赫的绝对误差。当然由于被测频率是高频，所以  $10\sim20$  赫引起的相对误差是很小的。

为了进一步提高零拍指示的准确度，可在检波器之后接入普通的电表(交流或直流)，配合耳机进行监测。当差频降低到若干赫以下时，一般电表的指针均能依照差频作摆动。当已知频率与被测频率相等时，指针便停止摆动而停留在零点，这时即可由已知(标准)频率的数值决定被测频率的数值。

按差频测量法原理构成的成品仪器有外差频率计。外差频率计是一种在高频范围内准确测量频率的重要仪器。

### 第三章 相位差的测量

在电子测量技术中，相位差测量(简称相位测量)的应用很广泛。例如，测量各种滤波器，移相器和放大器等双口网络的相频特性时，就需要对它们的输入信号与输出信号之间的相位差进行测量，也就是测量不同频率的正弦信号在通过双口网络时所产生的相位移。

相位差的测量方法主要有示波器测量法、比较测量法和直接读数法三种。

#### § 3.1 示波器测量法

在不具备专用的相位测量仪器的情况下，通常用示波器来进行相位差的测量。示波器测量法简便易行，适宜测量频率在 1 兆赫以下的被测信号。能测量的最小相角可达  $5\sim10^\circ$ ，而测量误差不超过  $5\sim10\%$ 。

##### 一、双线(或双踪)示波法

在有双线或双踪示波器(或具备电子开关与单线示波器)的情况下，测量相位差时，可以采用直接显示波形的方法。

设有两个同频率的正弦信号电压。

$$\begin{aligned} u_1 &= U_{m1} \sin(\omega t + \phi_1) \\ u_2 &= U_{m2} \sin(\omega t + \phi_2) \end{aligned} \quad (3.1)$$

它们之间的相位差为

$$\Delta\phi = (\omega t + \phi_1) - (\omega t + \phi_2) = \phi_1 - \phi_2 \quad (3.2)$$

上式中  $\phi_1$  为电压  $u_1$  的初相， $\phi_2$  为电压  $u_2$  的初相，由上式可知，两个同频率的正弦电压的相位差与时间无关。

将这两个被测的正弦信号分别输入到双线(或双踪)示波器的 y 轴输入端  $y_I$  和  $y_{II}$ (如

图3.1所示),此时示波器x轴的线性锯齿波电压同时对两个被测信号进行扫描,调节两条扫描线(即时间基线)使之重合,于是在示波器的荧光屏上就可以同时显示出两个信号的波形,如图3.2所示。扫描的触发信号宜选择 $u_1$ 、 $u_2$ 中相位超前的一个。

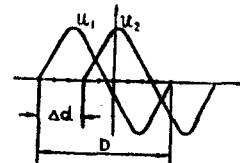
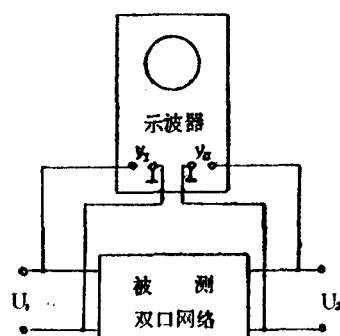


图3.2

图3.1 双线示波器测量相位差

根据荧光屏上显示的 $u_1$ 和 $u_2$ 两个信号的波形,量出它们的一个周期在示波器时间基线上所占的格数 $D$ (所对应的相位移为 $360^\circ$ )和两个波形相应点在时间基线上间距的格数 $\Delta d$ (对应于相位差 $\Delta\phi$ ),从而求得相位差

$$\Delta\phi = \frac{\Delta d}{D} \times 360^\circ \quad (3.3)$$

为了读数和计算的方便,测量时可以适当调节示波器面板上的相关旋钮,使荧光屏上显示的信号的一个周期恰好为x轴上座标片刻度的9格,这样x轴上的刻度值每格就代表 $\frac{360^\circ}{9} = 40^\circ$

## 二、单线示波器法

若用单线示波器进行相位差的测量,则可以采用两次波形显示法或椭圆法。

### 1. 两次波形显示法(又称两次显示读数法)。

两次波形显示法与双线或双踪示波器的直接显示法类似,测量时按图3.3接线。

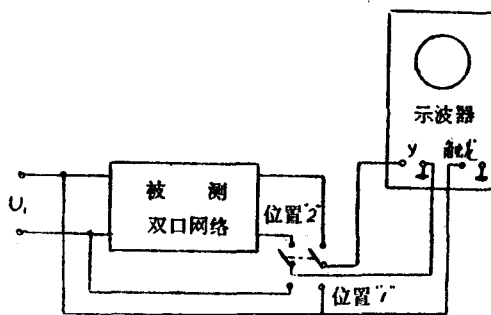


图3.3 单线示波器测量相位差

示波器的触发(或同步)选择开关置于“外触发”(或“外同步”)位置,将被测信号 $u_1$ 、 $u_2$ 中相位超前的信号接到示波器的“外触发”(或“外同步”)输入端。将测量电路